

利用大角度 Bhabha 散射测量 $\psi(2S)$ 数据积分亮度

崔象宗 顾以藩 李新华 韩世温

(中国科学院高能物理研究所 北京 100039)

摘要 提出了一种在正负电子对撞机上、用大角度 Bhabha 散射事例、在 $\psi(2S)$ 共振能量下测量积分亮度的方法。对北京谱仪在北京正负电子对撞机上采集的 $\psi(2S)$ 数据进行的初步测量表明方法是可行的。

关键词 $\psi(2S)$ 积分亮度 大角度 Bhabha 散射

1 引言

在对撞机上开展的粒子物理实验中,积分亮度是重要的物理量之一,它提供了观察到的事例率与截面之间的定量关系。例如,在北京谱仪(BES)的 $\psi(2S)$ 轻子分支比测量中,利用积分亮度和 QED 截面值计算并扣除了难以直接测量的本底事例^[1]。

鉴于北京谱仪在 $\psi(2S)$ 数据采集期间缺乏在线亮度测量的可靠数据,我们提出一种利用大角度 Bhabha 散射事例在 $\psi(2S)$ 共振能量下测量积分亮度的有效方法。本文描述了这种方法,并利用北京谱仪采集的 $\psi(2S)$ 数据进行测量展示了方法的可行性。

2 测量原理

在 BES 上利用大角 Bhabha 事例进行亮度测量,就是测量在 BES 的桶部簇射计数器的几何接收度 ($|\cos\theta| < 0.75, 0 \leq \phi < 2\pi$) 范围内的 Bhabha 散射,即 $e^+e^- \rightarrow e^+e^-$ 事例数,并根据 BES 对 Bhabha 事例的探测效率和 $e^+e^- \rightarrow e^+e^-$ 的 QED 产生截面的计算,得到在质心能量为 $\psi(2S)$ 质量下的积分亮度。在能量为 E_i 时,一次 RUN(即运行取数)的亮度可表为

$$I_i = \frac{n_i}{\sigma_i \cdot \epsilon_d \cdot \epsilon_t}, \quad (1)$$

式中 n_i 为测得的 Bhabha 事例数, σ_i 为在 E_i 能量下 Bhabha 事例的产生截面, ϵ_d 为 BES 对 Bhabha 事例的探测效率, ϵ_t 为在线取数时 BES 对 Bhabha 事例的触发效率。

将一批取数的全部 RUN 的数据累加起来,其积分亮度为

$$L = \sum_{i=1}^k l_i = \sum_{i=1}^k \frac{n_i}{\sigma_i \cdot \varepsilon_d \cdot \varepsilon_t}, \quad (2)$$

k 为这批取数中总的 RUN 数. 又已知 $\sigma_i \propto \frac{1}{E_i^2}$, 故 $\sigma_i = \sigma_{\text{QED}} \frac{E_{\text{CM}}^2}{E_i^2}$, E_{CM} 为质心能量, σ_{QED} 为在 $E_{\text{CM}} = 3686 \text{ MeV}$ 处的 Bhabha 事例产生截面. 实验表明,在各次 RUN 中测得的能量 E_i 与平均能量 \bar{E} 之间,除个别 RUN 外差别很小. 实验表明 $\delta_i \equiv (E_i - \bar{E})/\bar{E} \leq 0.05\%$, 即 $E_i^2 = (1 + 2\delta_i + \delta_i^2)\bar{E}^2 \approx (1 + 0.1\%)\bar{E}^2 \approx \bar{E}^2$. 故式(2)可写为

$$L = \frac{\sum n_i}{\sigma_{\text{QED}} \cdot \varepsilon_d \cdot \varepsilon_t} \left(\frac{\bar{E}}{E_{\text{CM}}} \right)^2 = \frac{N_{\text{bb}}}{\sigma_{\text{QED}} \cdot \varepsilon_d \cdot \varepsilon_t} \left(\frac{\bar{E}}{E_{\text{CM}}} \right)^2, \quad (3)$$

式中 N_{bb} 为测得的 Bhabha 事例总数.

实验上得到的 e^+e^- 事例包括了以下 4 个部分:

- (1) QED 过程产生的 e^+e^- 对, 即 Bhabha 散射电子对.
- (2) $\psi(2S)$ 共振态衰变产生的 e^+e^- 对.
- (3) QED 过程与 $\psi(2S)$ 共振衰变之间的干涉效应的贡献
- (4) 由连续衰变过程 $\psi(2S) \rightarrow \text{Neutrals} + J/\psi, J/\psi \rightarrow e^+e^-$ 产生的 e^+e^- 对.

为从测得的 e^+e^- 事例中除去各种非

Bhabha 事例(上述 2—4 部分), 我们提出了一种简单可行的数据处理方法.

图 1 是 e^- 事例按 $\cos\theta$ 分布的示意图, θ 为从对撞点出射的 e^- 相对于 z 轴的夹角 (e^+ 具有类似分布, 但方向相反), 其中 A_1 和 A_2 分别代表以 $\cos\theta = 0$ 为界右侧 ($\cos\theta > 0$) 和左侧 e^- 的数目, 短划线下方的 y 和 x 分别表示右侧和左侧的 Bhabha 电子数, 点线下区域 B 表示由 $\psi(2S)$ 共振衰变产生的 e^- 数目, 它服从分布 $(1 + \cos^2\theta)$, 即具有以 $\cos\theta = 0$ 为轴的左右对称性质.

由图显示的关系, $y + \frac{B}{2} = A_1$ 及 $x + \frac{B}{2} = A_2$, 并令 $\frac{x}{x+y} \equiv \alpha$, 即可得到 Bhabha 事例数

$$N_{\text{bb}} = (x+y) = \frac{A_1 - A_2}{1 - 2\alpha} \quad (4)$$

于是, 由方程(3)可将亮度表达式写成

$$L = \frac{A_1 - A_2}{(1 - 2\alpha) \cdot \sigma_{\text{QED}} \cdot \varepsilon_d \cdot \varepsilon_t} \left(\frac{\bar{E}}{E_{\text{CM}}} \right)^2, \quad (5)$$

上式中因子 $(1 - 2\alpha)$ 修正了由于 $(A_1 - A_2)$ 所造成的 Bhabha 事例的丢失(即图中的 x 部

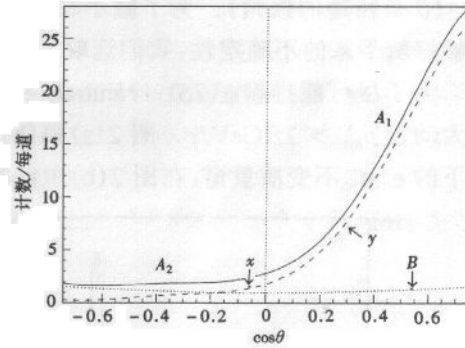


图1 e^- 的 $\cos\theta$ 分布示意图

3 数据分析

基于以上测量原理,对 1993 和 1994 年获取的 $\psi(2S)$ 数据进行了分析. 这批数据的 $\psi(2S)$ 总数已被确定为 $(1325 \pm 109) \times 10^3$ [2].

3.1 e^+e^- 事例选择

为了从 $\psi(2S)$ 数据中得到纯净的 e^+e^- 事例(包括带辐射 γ 的 e^+e^-),我们采用了以下的选择条件.

3.1.1 两叉带电径迹的选择

要求事例中包含两个带有相反电荷(每个电荷量为 1)的径迹. 每条径迹在漂移室中能通过完整的螺旋线拟合($mfit = 2$),从而保证了良好的重建质量. 两个径迹的顶点在 (x, y) 平面内,要求到达对撞中心的距离不超过 1.5cm,在 z 方向上,每个径迹的顶点与对撞中心的距离小于 15cm,且两径迹顶点的 z 坐标之差 $|z_1 - z_2| < 5\text{cm}$.

为保证两带电径迹都被包罗在桶部簇射计数器覆盖的立体角范围内,要求 $|\cos\theta| < 0.75$ (θ 是径迹的极角). 为了减小在 $|\cos\theta|$ 较大处 Monte Carlo 与实际数据可能符合得不够好所带来的不确定性,我们选取了 $|\cos\theta| < 0.65$ 的 e^+e^- 事例.

为了尽可能排除 $\psi(2S) \rightarrow \text{Neutrals} + J/\psi$, $J/\psi \rightarrow e^+e^-$ 衰变事例的混入,要求两径迹中最大动量 $p_{\max} > 1.7\text{GeV}/c$. 图 2(a)和(b)分别为在 $p_{\max} > 1.0\text{GeV}/c$ 和 $p_{\max} > 1.7\text{GeV}/c$ 条件下的 e^+e^- 不变质量谱,在图 2(b)中已看不到明显的 J/ψ 的质量峰.

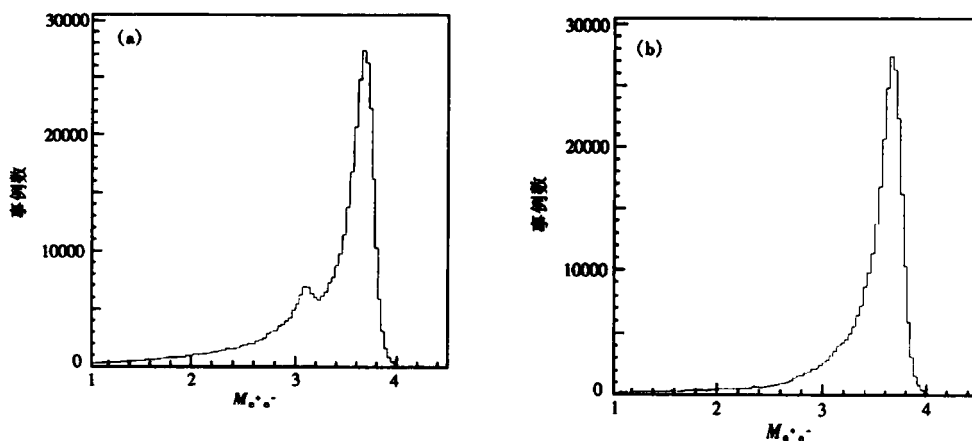


图2 (a)经过 $p_{\max} > 1.0\text{GeV}/c$ 选择后的不变质量谱和(b)经过 $p_{\max} > 1.7\text{GeV}/c$ 选择后的不变质量谱

e^+e^- 事例识别

一种识别方法是利用 E_{SC}/p 进行选择. 这里 E_{SC} 是粒子在簇射计数器中沉积的能量, p

是漂移室给出的粒子动量. 在簇射计数器中央加强筋以外的区域内, 对于电子, 当 $p \geq 1.0 \text{ GeV}/c$ 时, 要求 $E_{\text{SC}}/p \geq 1$; 或者当两个径迹都满足 $p \geq 1.0 \text{ GeV}/c$ 时, 要求 $R(E_{\text{SC}}/p) \equiv \sqrt{\sum_{i=1}^2 [(E_{\text{SC}}/p)_i - 1]^2} \leq 0.6$ (在中央加强筋区域内的粒子鉴别则用 dE/dx 信息). 图 3 为对两叉事例的 E_{SC}/p 分布图. 图中左下角为非 e^+e^- 事例. 从图可以看到利用 E_{SC}/p 选择 e^+e^- 的有效性.

另一种选择 e^+e^- 事例的手段是用主漂移室的经过修正的 dE/dx 信息. 当任意一个径迹的 $p > 1.4 \text{ GeV}/c$ 时, 若它的 $X_{\text{se}} > 0$ (这里 $X_{\text{se}} = [(dE/dx)_{\text{exp}} - (dE/dx)_{\text{th}}] / \sigma_{dE/dx}$, 式中右侧分子第一项为测到的 dE/dx 值, 第二项为假定粒子是电子时相应的理论计算值, 分母为 dE/dx 实验分布谱的标准偏差); 或者当两个粒子的动量均大于 $1.4 \text{ GeV}/c$ 时, 若满足关系 $R(X_{\text{se}}) \equiv \sqrt{\sum_{i=1}^2 (X_{\text{se}})_i^2} \leq 2.0$, 则判作 e^+e^- 事例. 图 4 为两带电径迹的 X_{se} 分布的散点图, 左下方是将被排除的本底事例.

满足以上任一鉴别条件的事例都将被判为 e^+e^- 事例.

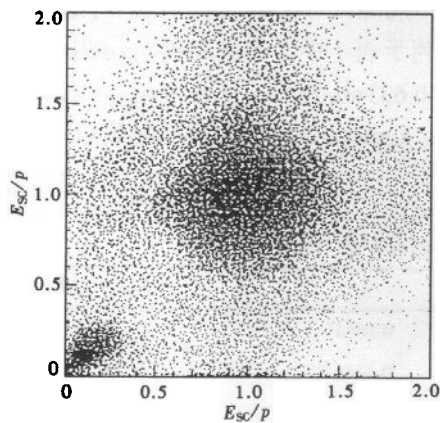


图3 e^+ 与 e^- 的 E_{SC}/p 散点图

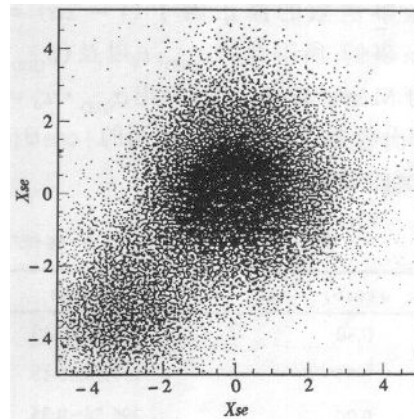


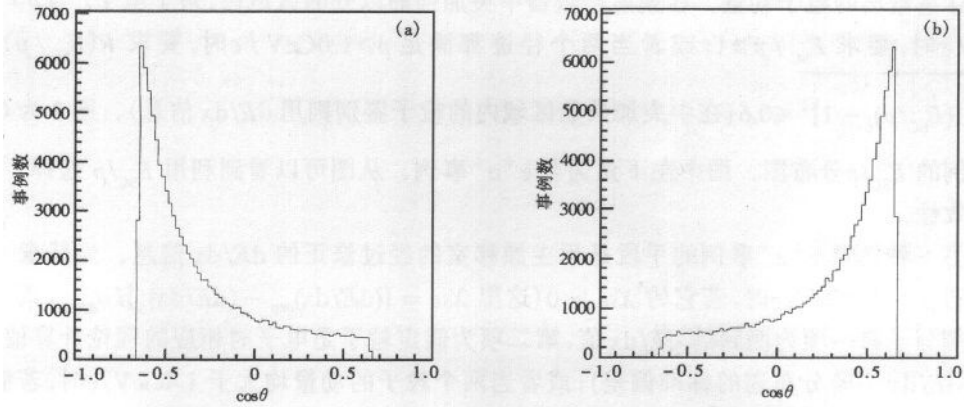
图4 e^+ 与 e^- 的 X_{se} 散点图

3.2 $\psi(2S)$ 实验数据分析

3.2.1 e^+e^- 的 $\cos\theta$ 分布谱分析

经过上述的 e^+e^- 事例选择后, 对 $\psi(2S)$ 实验数据分别作 e^+ 和 e^- 的 $\cos\theta$ 分布谱, 如图 5(a) 和 (b) 所示. 为了得到式 (3) 中的 N_{bb} , 需要对这些谱进行分析处理.

在图 5(a) 给出的 e^+ 分布谱中, 以 $\cos\theta = 0$ 处为界, 如第 2 节所定义, 左侧事例数为 A_1 , 右侧为 A_2 . e^- 的分布刚好相反. 由于统计涨落, 对 e^+ 和 e^- 得到的 $(A_1 - A_2)$ 值会稍有差别 ($< 0.09\%$), 故取它们的平均值 $\overline{A_1 - A_2}$. 对 1993 和 1994 年 $\psi(2S)$ 数据得到 $\overline{A_1 - A_2} = 60873$. 根据 Monte Carlo 模拟得到的分布谱可分别对 e^+ 和 e^- 计算出 α 值, 同样对 e^+ , e^- 的 α (差别小于 0.4%) 取平均值 $\overline{\alpha}$. 式 (5) 中的 σ_{QED} 和 ϵ_d 也通过 Monte Carlo 模拟计算给出. 原则上, 乘积 $\sigma_{\text{QED}} \cdot \epsilon_d$ 以及 α 值应与选取的产生 Bhabha 事例的 $\cos\theta$ 范围无关, 但鉴于

图5 (a) e^+ 的 $\cos\theta$ 分布和(b) e^- 的 $\cos\theta$ 分布

事例产生的统计性的限制, $\bar{\alpha}$ 及乘积 $\sigma_{\text{QED}} \cdot \varepsilon_d$ 在不同的 $|\cos\theta|$ 情况下仍然稍有变化, 故在亮度计算中, 将这些差别作为系统误差处理. 在 1993 和 1994 年探测器取数条件下, 得到 Bhabha 事例数的修正因子 $(1 - 2\bar{\alpha}) = 0.6702 \pm 0.0087$. 取不同的 $|\cos\theta|$ 范围产生 Bhabha 事例, 所得到的 σ_{QED} , ε_d 以及 $(\sigma_{\text{QED}} \cdot \varepsilon_d)$ 的值列于表 1 中. 由在条件 $|\cos\theta| \leq 0.85$ 下所作的 Monte Carlo 计算给出 $\sigma_{\text{QED}} \cdot \varepsilon_d = (76.29 \pm 0.63) \text{nb}$, 在 $(1 - 2\bar{\alpha})$ 和 $\sigma_{\text{QED}} \cdot \varepsilon_d$ 数据中, 误差部分包括了由于选取不同的 $|\cos\theta|$ 产生 Monte Carlo 事例 (如表 1) 而导致 $(1 - 2\bar{\alpha})$ 和 $\sigma_{\text{QED}} \cdot \varepsilon_d$ 的数值的变化.

表 1 在不同 $|\cos\theta|$ 条件下测得的 σ_{QED} , ε_d 以及 $(\sigma_{\text{QED}} \cdot \varepsilon_d)$ 的值

$ \cos\theta $	$\sigma_{\text{QED}}/\text{nb}$	ε_d	$(\sigma_{\text{QED}} \cdot \varepsilon_d)/\text{nb}$
0.80	123.88 ± 0.13	0.6664	76.36
0.85	179.68 ± 0.18	0.4246	76.29
0.90	296.54 ± 0.35	0.2529	75.00
0.95	662.60 ± 0.65	0.1138	75.40

Bhabha 事例的触发效率 ε_t 由 BES 的触发判选组给出, $\varepsilon_t = 0.99 \pm 0.01^{[3]}$.

平均测量能量 \bar{E} 偏离 $\psi(2S)$ 共振能量很小. 能量测量的不确定性对亮度测量的影响, 对于 1993 和 1994 年的 $\psi(2S)$ 数据为 $\bar{E} = 3686.36 \text{MeV}^{[1]}$, 引起亮度改变约 0.02%, 因此, 能量测量的不确定性对亮度测量的影响可以忽略不计 $\left(\left(\frac{\bar{E}}{E_{\text{CM}}} \right)^2 \cong 1 \right)$.

3.2.2 对 $J/\psi \rightarrow e^+e^-$ 衰变和相干效应的分析

衰变过程 $\psi(2S) \rightarrow \text{Neutrals} + J/\psi, J/\psi \rightarrow e^+e^-$, 对 Bhabha 事例测量的影响, 可通过选择条件 $p_{\text{max}} > 1.7 \text{GeV}$ 而去除. Monte-Carlo 模拟表明, 经过这一动量截断已有 94% 以上的 $J/\psi \rightarrow e^+e^-$ 事例被去掉. 此外, 在这一衰变中 J/ψ 具有很小的动量, e^+e^- 的 $\cos\theta$ 分布具有近似对称的形式, 故经过 $(A_1 - A_2)$ 的处理后, 剩余的 $J/\psi \rightarrow e^+e^-$ 将很少混杂在 Bhabha 中. Monte-Carlo 计算表明, $J/\psi \rightarrow e^+e^-$ 事例被记录的几率仅约 0.007%, 因此可以忽略不

计.

对于 $\psi(2S)$ 共振衰变与 QED 过程之间相干效应的影响已作了理论计算^[4], 在质心能量为 $E_{CM} = 3686.36\text{MeV}$, 能量分散 $\Delta = 1.4\text{MeV}$ 以及在 $|\cos\theta| \leq 0.9$ 范围内, 得到干涉截面 $\sigma_{int} = -0.24\text{nb}$, 于是干涉截面与 e^+e^- 事例的 QED 产生截面之比为 $\sigma_{int}/\sigma_{QED} = |-0.24\text{nb}|/295.81\text{nb} \cong 0.08\%$, 故干涉效应的影响也可以忽略不计.

4 结果与讨论

将上节确定的有关量的数值代入公式 (5) 中, 可以计算出 1993 和 1994 年 $\psi(2S)$ 数据的积分亮度为:

$$L = (2123 \pm 14 \pm 51)\text{nb}^{-1}.$$

在以上给出的误差中, 第一项为统计误差, 第二项为系统误差. 统计误差来自 A_1 和 A_2 两部分. 系统误差主要来源于事例选择条件 $\cos\theta$ 的改变和计算 $(1 - 2\bar{\alpha})$ 带来的误差, 前者引起的误差可达 1.5%, 原因是 Monte-Carlo 的 $\cos\theta$ 分布与实验数据符合得不够理想, 后者误差不大于 1.3%. 其他误差的贡献都比较小, 如 P_{max} , E_{sc}/p 和 X_{se} 等事例选择条件的改变只引起很小的误差, 当它们分别改变一个标准偏差量, 例如对 E_{sc}/p 来说相当于 $R(E_{sc}/p)$ 从 ≤ 0.6 改变到 ≤ 0.2 , 对 X_{se} 则相当于 $R(X_{se})$ 从 ≤ 2.0 改变到 ≤ 0.6 时, 引起亮度值的改变最大不超过 0.42%. 这表明事例的选择具有较高的可靠性.

利用本文给出的 1993 和 1994 年 $\psi(2S)$ 数据积分亮度和已测得的 $\psi(2S)$ 事例数 $N_{\psi(2S)}$ ^[2], 可以粗略地估计在北京正负电子对撞机上、在质心能量为 3686.36MeV 情况下 $\psi(2S)$ 的产生截面为

$$\sigma = \frac{N_{\psi(2S)}}{L} = (624 \pm 54)\text{nb},$$

它与某些文献间接给出的结果在误差范围内是一致的^[5].

感谢北京谱仪合作组全体成员的大力支持和帮助. 感谢吴济民和王平在干涉截面计算方面所作的努力.

参考文献(References)

- 1 BES Collaboration. High Energy Phys. and Nucl. Phys. (in Chinese), 1995, 19:577
(BES 合作组. 高能物理与核物理, 1995, 19:577)
- 2 BAI J Z et al (BES collaboration). Phys. Rev., 1998, D58:092006
- 3 GU JianHui. Private Communication, 1998
- 4 WU JiMin, WANG Ping. Private Communication, 1994
- 5 Hilger E et al. Phys. Rev. Lett., 1975, 35:625;
Lee R. A. Radiative Decay of the Psi Prime to All-Photon Final States PhD. Thesis, 1985, SLAC-282

Measurement of Integrated Luminosity at $\psi(2S)$ by Wide-Angle Bhabha Scattering

CUI XiangZong GU YiFan LI XinHua HAN ShiWen

(Institute of High Energy Physics, Chinese Academy of Sciences, Beijing 100039, China)

Abstract A method for measuring the integrated luminosity of the e^+e^- colliding experiment by using the wide-angle Bhabha events at the center of mass energy of the $\psi(2S)$ resonance is presented. The determination of the integrated luminosity for the $\psi(2S)$ data collected by the BES detector at the BEPC collider shows the feasibility of the method.

Key words $\psi(2S)$, integrated luminosity, wide-angle Bhabha scattering